

## Supplementary information

### A novel 3D Cd-based luminescent coordination polymer for selective sensing of 4-NP and NZF

Jie Zhang,<sup>a</sup> Lingling Gao,<sup>a</sup> Yang Wang,<sup>a</sup> Lijun, Zhai,<sup>a</sup> Xiaoyan Niu,<sup>a</sup> and Tuoping Hu<sup>\*a</sup>

**Table S1.** Crystallographic data for **1**.

Complex	<b>1</b>
Empirical formula	C <sub>140</sub> H <sub>112</sub> Cd <sub>7</sub> N <sub>847</sub>
Formula weight	3445.25
Crystal system	triclinic
Space group	<i>P</i> -1
<i>a</i> [Å]	10.8154(6)
<i>b</i> [Å]	17.0791(11)
<i>c</i> [Å]	17.5910(10)
$\alpha$ [°]	82.238(3)
$\beta$ [°]	84.722(3)
$\gamma$ [°]	87.293(3)
<i>V</i> [Å <sup>3</sup> ]	3203.9(3)
<i>Z</i>	1
<i>D<sub>c</sub></i> / (g·cm <sup>-3</sup> )	1.786
<i>F</i> (000)	1720.0
$\mu$ (Mo <i>Kα</i> ) / mm <sup>-1</sup>	1.237
Reflections collected	48426
$\theta$ range for data collection / (°)	2.779-25.436
Independent reflections ( <i>R</i> <sub>int</sub> )	11761 (0.1070)
Data / restraints / parameters	11761/100/945
Gof	1.017
<i>R</i> <sub>1</sub> , <i>wR</i> <sub>2</sub> [ <i>I</i> >2σ( <i>I</i> )] <sup>ab</sup>	0.0598, 0.1234
<i>R</i> <sub>1</sub> , <i>wR</i> <sub>2</sub> (all data) <sup>a</sup>	0.1246, 0.1530
Largest diff. Peak and hole[e·Å <sup>-3</sup> ]	1.89 and -2.75
CCDC number	1886813

**Table. S2** Selected bond lengths/Å and bond angles/°for complex (**1**).

Complex <b>1</b>					
Cd1-O1	2.281(5)	Cd2-O2	2.331(6)	Cd1-O21 <sup>B</sup>	2.327(15)
Cd1-O2	2.274(8)	Cd2-O11	2.238(5)	Cd1-O21A <sup>B</sup>	2.347(18)
Cd1-O3 <sup>A</sup>	2.328(6)	Cd2-O18	2.295(8)	Cd3-O16 <sup>E</sup>	2.448(5)
Cd1-O10 <sup>B</sup>	2.271(5)	Cd2-O19	2.277(8)	Cd3-N4 <sup>D</sup>	2.212(7)
Cd2-O21 <sup>C</sup>	2.364(16)	Cd3-O7	2.364(6)	Cd3-O6	2.640(5)
Cd4-O1 <sup>F</sup>	2.279(5)	Cd4-O12 <sup>F</sup>	2.225(6)	Cd2-O23 <sup>C</sup>	2.701(16)
Cd4-O9 <sup>B</sup>	2.381(5)	Cd2-O21A <sup>C</sup>	2.57(2)	Cd3-O15 <sup>E</sup>	2.407(5)
Cd4-O9 <sup>G</sup>	2.381(5)	Cd4-O12	2.225(6)	Cd3-O6 <sup>D</sup>	2.388(5)
Cd4-O1	2.279(5)	Cd2-O1	2.227(6)		
Cd2-Cd1-Cd4	64.156(16)	O10 <sup>B</sup> -Cd1-O21A <sup>B</sup>	102.3(5)	O7-Cd3-O6 <sup>D</sup>	126.94(18)

O1-Cd1-Cd2	39.17(15)	O20-Cd1-Cd2	142.26(19)	O7-Cd3-O6	50.72(17)
O1-Cd1-Cd4	31.74(13)	O20-Cd1-Cd4	80.09(19)	O7-Cd3-O15 <sup>E</sup>	141.76(18)
O1-Cd1-O3 <sup>A</sup>	74.7(2)	O20-Cd1-O1	103.2(2)	O7-Cd3-O16 <sup>E</sup>	88.89(18)
O1-Cd1-O21 <sup>B</sup>	157.7(4)	O20-Cd1-O2	171.5(3)	O15 <sup>E</sup> -Cd3-O6	166.03(17)
O1-Cd1-O21A <sup>B</sup>	166.2(5)	O20-Cd1-O3 <sup>A</sup>	83.1(3)	O15 <sup>E</sup> -Cd3-O16 <sup>E</sup>	54.03(18)
O2-Cd1-Cd2	41.78(15)	O20-Cd1-O21 <sup>B</sup>	94.0(4)	O11-Cd2-O18	82.2(2)
O2-Cd2-Cd1	40.53(19)	O2-Cd2-O21A <sup>C</sup>	82.0(4)	N1-Cd3-O6 <sup>D</sup>	84.4(2)
O2-Cd2-O21 <sup>C</sup>	78.3(4)	O11-Cd2-Cd1	91.76(15)	C54 <sup>E</sup> -Cd3-C13	141.1(2)
O2-Cd2-O23 <sup>C</sup>	117.6(3)	O11-Cd2-O2	88.5(2)	Cd1-Cd4-Cd1 <sup>F</sup>	180.0
N1-Cd3-O6	83.5(2)	O20-Cd1-O21A <sup>B</sup>	81.9(5)	O1 <sup>F</sup> -Cd4-Cd1 <sup>F</sup>	31.78(12)
N1-Cd3-O7	88.5(3)	O21 <sup>B</sup> -Cd1-Cd2	123.0(3)	O1-Cd4-Cd1 <sup>F</sup>	148.22(12)
N1-Cd3-O15 <sup>E</sup>	90.0(2)	O21 <sup>B</sup> -Cd1-Cd4	170.4(3)	O1 <sup>F</sup> -Cd4-Cd1	148.22(12)
N4 <sup>D</sup> -Cd3-O7	95.4(3)	O21 <sup>B</sup> -Cd1-O3 <sup>A</sup>	93.6(4)	O1-Cd4-Cd1	31.78(12)
N4 <sup>D</sup> -Cd3-O15 <sup>E</sup>	92.0(2)	O21 <sup>B</sup> -Cd1-O21A <sup>B</sup>	12.2(6)	O1-Cd4-O1 <sup>F</sup>	180.0
N4 <sup>D</sup> -Cd3-O16 <sup>E</sup>	87.0(2)	O21A <sup>B</sup> -Cd1-Cd2	135.2(4)	O1 <sup>F</sup> -Cd4-O9 <sup>B</sup>	90.87(19)
N4 <sup>D</sup> -Cd3-N1	171.0(2)	O21A <sup>B</sup> -Cd1-Cd4	159.9(4)	O1-Cd4-O9 <sup>G</sup>	90.87(19)
Cd1-Cd4-Cd1 <sup>F</sup>	180.0	O1-Cd2-Cd1	40.31(13)	O1-Cd4-O9 <sup>B</sup>	89.13(19)
N4 <sup>D</sup> -Cd3-O6	92.6(2)	O1-Cd2-O2	80.7(2)	O1 <sup>F</sup> -Cd4-O9 <sup>G</sup>	89.13(19)
N4 <sup>D</sup> -Cd3-C54 <sup>E</sup>	88.6(2)	O1-Cd2-O11	90.1(2)	N1-Cd3-O16 <sup>E</sup>	101.2(2)
O2-Cd1-O3 <sup>A</sup>	105.2(3)	O1-Cd2-O18	167.5(3)	N4 <sup>D</sup> -Cd3-O6 <sup>D</sup>	86.7(2)
O2-Cd1-O21 <sup>B</sup>	84.2(4)	O1-Cd2-O19	94.3(2)	O1 <sup>F</sup> -Cd4-Cd1 <sup>F</sup>	31.78(12)
O2-Cd1-O21A <sup>B</sup>	96.0(5)	O1-Cd2-O21 <sup>C</sup>	102.1(4)	O1-Cd4-Cd1 <sup>F</sup>	148.22(12)
O3 <sup>A</sup> -Cd1-Cd2	87.02(19)	O1-Cd2-O23 <sup>C</sup>	89.5(4)	O1 <sup>F</sup> -Cd4-Cd1	148.22(12)
O3 <sup>A</sup> -Cd1-Cd4	93.16(16)	O1-Cd2-O21A <sup>C</sup>	112.5(4)	O1-Cd4-Cd1	31.78(12)
O3 <sup>A</sup> -Cd1-O21A <sup>B</sup>	93.4(5)	O12 <sup>F</sup> -Cd4-Cd1 <sup>F</sup>	94.90(15)	O1-Cd4-O1 <sup>F</sup>	180.0
O10 <sup>B</sup> -Cd1-Cd2	93.02(15)	O12 <sup>F</sup> -Cd4-O1	85.9(2)	O1 <sup>F</sup> -Cd4-O9 <sup>B</sup>	90.87(19)
O10 <sup>B</sup> -Cd1-Cd4	66.81(16)	O12-Cd4-O1	94.1(2)	O1-Cd4-O9 <sup>7</sup>	90.87(19)
O10 <sup>B</sup> -Cd1-O1	91.09(19)	O12 <sup>F</sup> -Cd4-O1 <sup>F</sup>	94.1(2)	O1-Cd4-O9 <sup>B</sup>	89.13(19)
O10 <sup>B</sup> -Cd1-O2	89.4(2)	O12-Cd4-O1 <sup>F</sup>	85.9(2)	O1 <sup>F</sup> -Cd4-O9 <sup>G</sup>	89.13(19)
O10 <sup>B</sup> -Cd1-O3 <sup>A</sup>	157.4(3)	O12 <sup>F</sup> -Cd4-O9 <sup>G</sup>	92.1(2)	O9 <sup>B</sup> -Cd4-Cd1 <sup>F</sup>	122.65(15)
O10 <sup>B</sup> -Cd1-O20	83.1(3)	O12-Cd4-Cd1	94.90(15)	O9 <sup>G</sup> -Cd4-Cd1	122.65(15)
O10 <sup>B</sup> -Cd1-O21 <sup>B</sup>	105.2(4)	O12-Cd4-Cd1 <sup>F</sup>	85.10(15)	O9 <sup>G</sup> -Cd4-Cd1 <sup>F</sup>	57.35(15)
O12 <sup>F</sup> -Cd4-O12	180.0	O12-Cd4-O9 <sup>G</sup>	87.9(2)	O9 <sup>B</sup> -Cd4-Cd1	57.35(15)
Cd2-O1-Cd1	100.5(2)	O12 <sup>F</sup> -Cd4-O9 <sup>B</sup>	87.9(2)	O9 <sup>B</sup> -Cd4-O9 <sup>G</sup>	180.0
Cd2-O1-Cd4	120.7(2)	O12-Cd4-O9 <sup>B</sup>	92.1(2)	O12-Cd4-Cd1	94.90(15)
Cd4-O1-Cd1	116.5(2)	O12 <sup>F</sup> -Cd4-O12	180.0	O12-Cd4-Cd1 <sup>F</sup>	85.10(15)
Cd1-O2-Cd2	97.7(3)	Cd2-O1-Cd1	100.5(2)	O12 <sup>F</sup> -Cd4-Cd1	85.10(15)
Cd3 <sup>D</sup> -O6-Cd3	103.78(18)	Cd2-O1-Cd4	120.7(2)	O12 <sup>F</sup> -Cd4-Cd1 <sup>F</sup>	94.90(15)
O9 <sup>B</sup> -Cd4-Cd1 <sup>F</sup>	122.65(15)	Cd4-O1-Cd1	116.5(2)	O12 <sup>F</sup> -Cd4-O1	85.9(2)
O9 <sup>G</sup> -Cd4-Cd1	122.65(15)	O12 <sup>F</sup> -Cd4-Cd1	85.10(15)	O12-Cd4-O1	94.1(2)
O9 <sup>G</sup> -Cd4-Cd1 <sup>F</sup>	57.35(15)	N4 <sup>D</sup> -Cd3-O15 <sup>E</sup>	92.0(2)	O12 <sup>F</sup> -Cd4-O1 <sup>F</sup>	94.1(2)
O9 <sup>B</sup> -Cd4-Cd1	57.35(15)	N4 <sup>D</sup> -Cd3-O16 <sup>E</sup>	87.0(2)	O12-Cd4-O1 <sup>F</sup>	85.9(2)
O9 <sup>B</sup> -Cd4-O9 <sup>G</sup>	180.0	N4 <sup>D</sup> -Cd3-N1	171.0(2)	O12 <sup>F</sup> -Cd4-O9 <sup>G</sup>	92.1(2)
N4 <sup>D</sup> -Cd3-O6	92.6(2)	O12-Cd4-O9 <sup>B</sup>	92.1(2)	O12-Cd4-O9 <sup>G</sup>	87.9(2)

N4 <sup>D</sup> -Cd3-O7	95.4(3)	N4 <sup>D</sup> -Cd3-C13	97.0(3)	O12 <sup>F</sup> -Cd4-O9 <sup>B</sup>	87.9(2)
Cd1-O2-Cd2	97.7(3)				

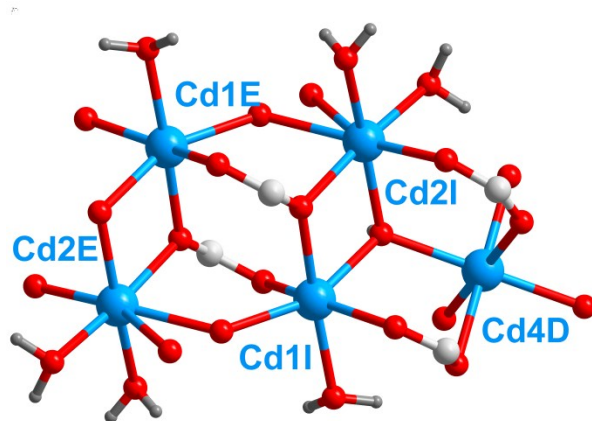
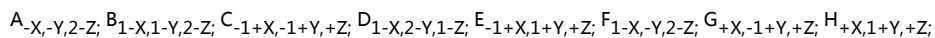


Figure S1. The 1D  $\{Cd_5(COO)_8(u_3\text{-H}_2\text{O})_2\}_n$  SBUs for **1**.

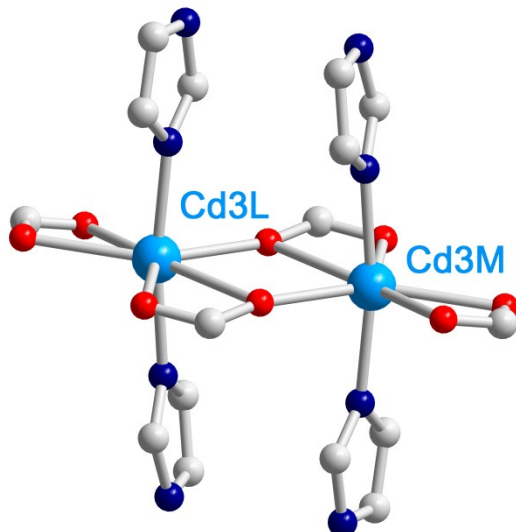
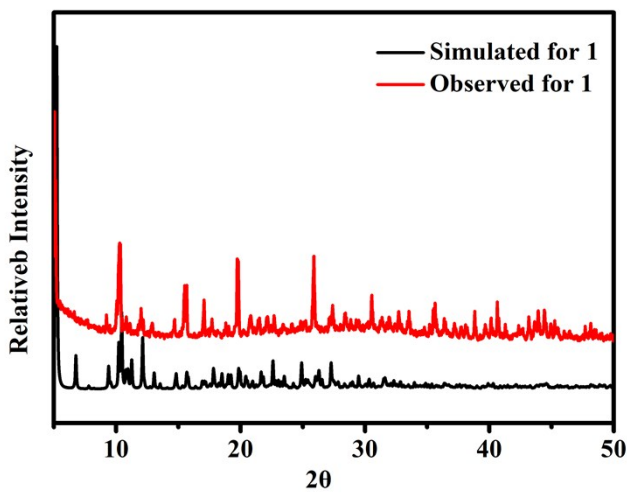
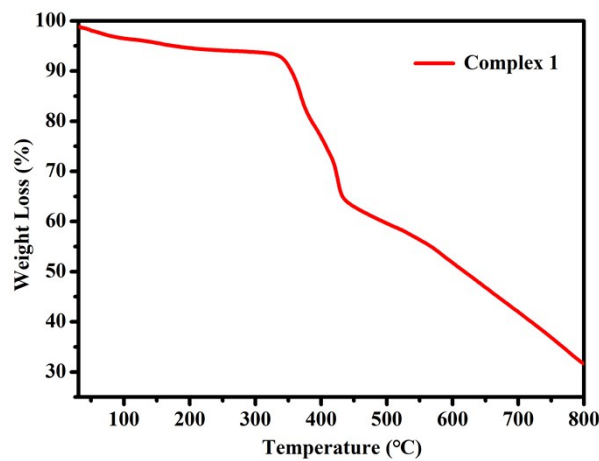


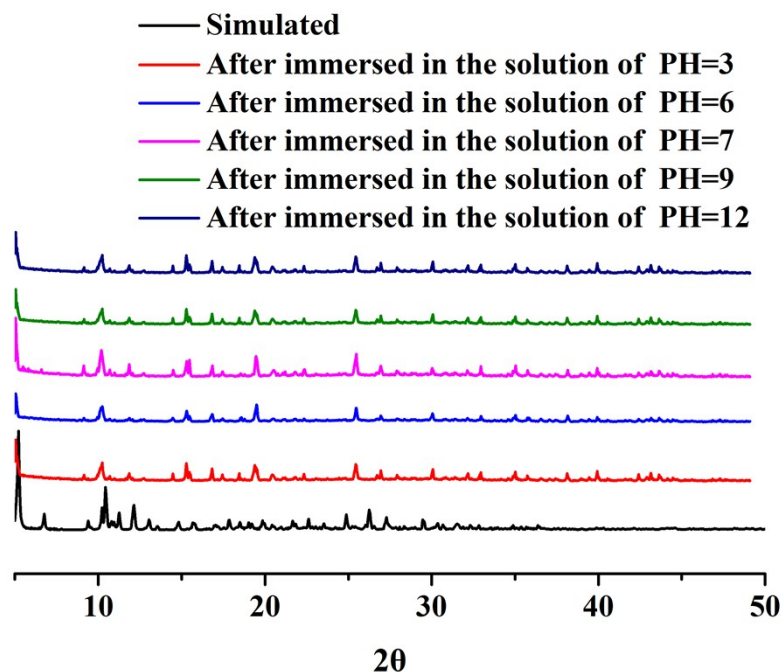
Figure S2. The binuclear paddle-wheel  $\{Cd_2(COO)_4\}_n$  SBU for **1**.



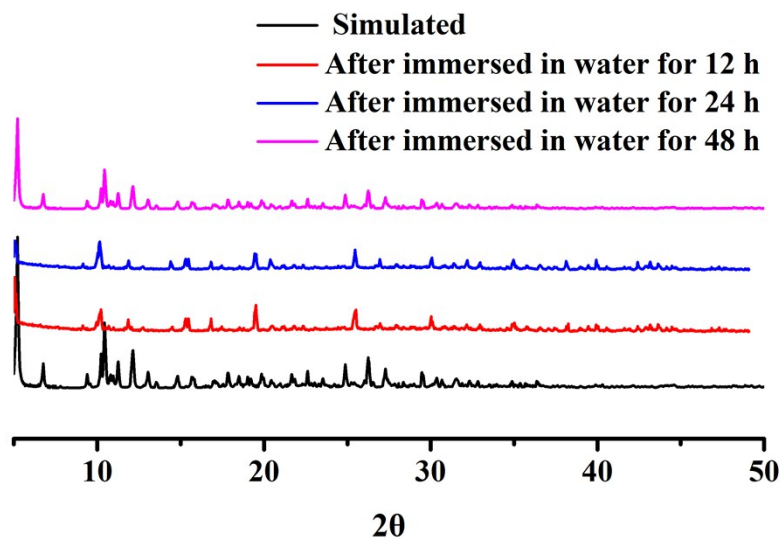
**Figure S3.** PXRD patterns of the series complexes. Black: Simulated from the X–ray single–crystal data; Red: observed for the as–synthesized solids.



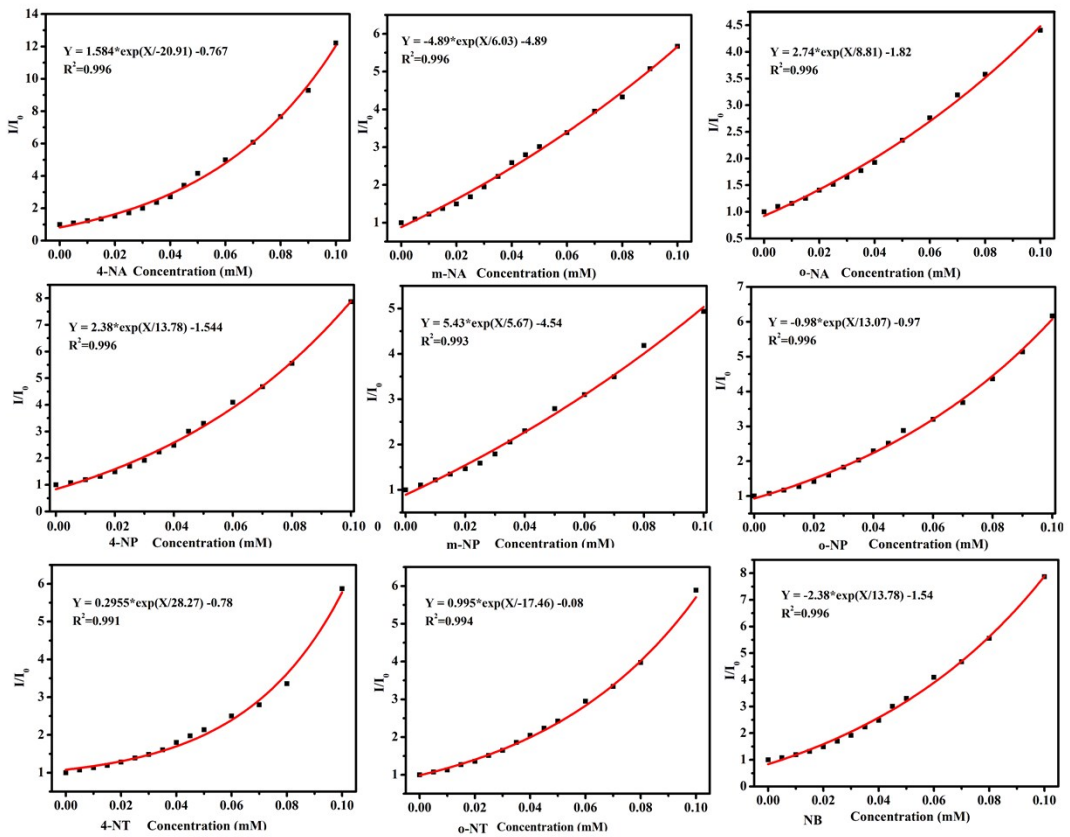
**Figure S4.** The TG curve of complex 1.



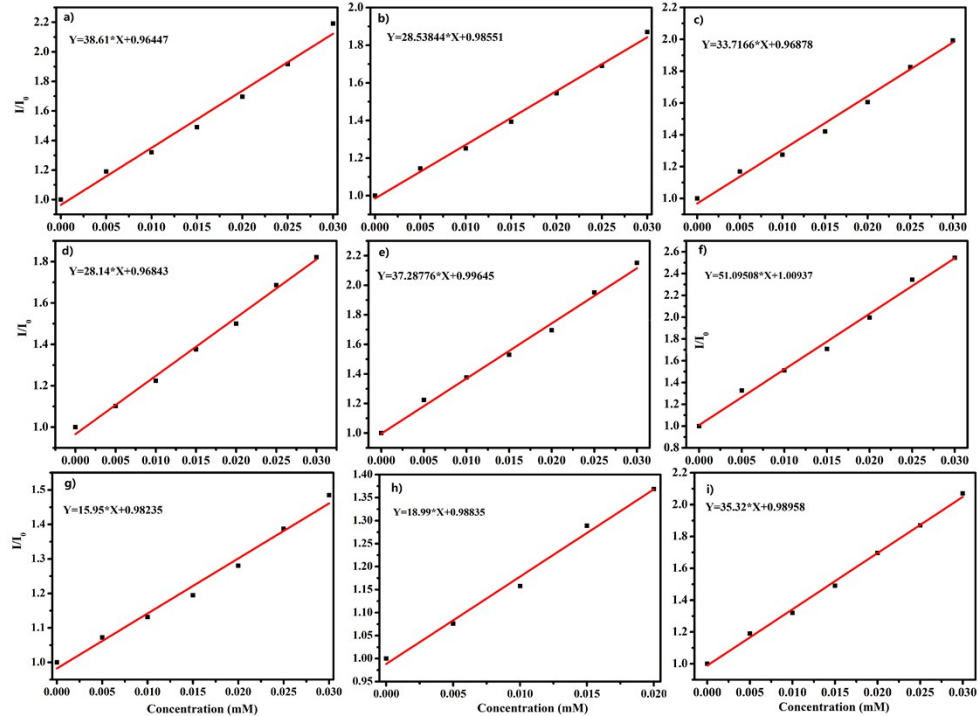
**Figure S5.** PXRD patterns of **1** after being immersing in water solution for various conditions.



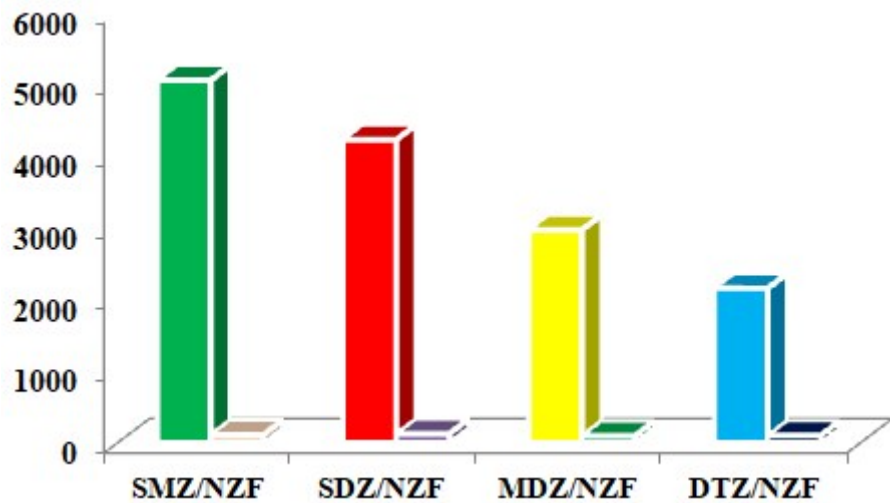
**Figure S6.** PXRD patterns of **1** after being immersing in water solution for various conditions.



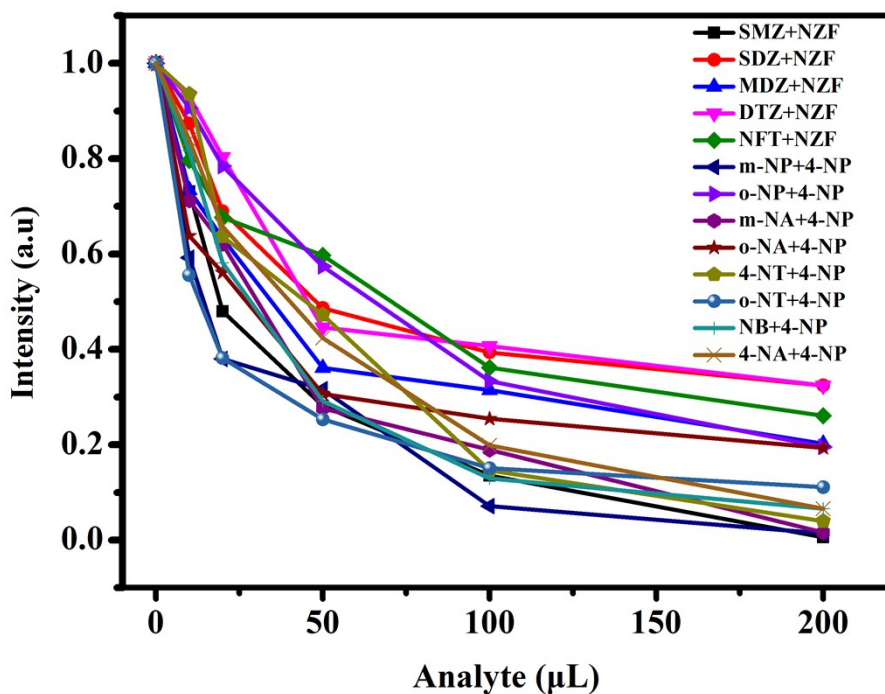
**Figure S7.** The K<sub>SV</sub> plot for the fluorescence quenching of 4-NP, m-NP, o-NP, 4-NA, m-NA, o-NA, 4-NT, o-NT and NB to aqueous@1 suspensions.



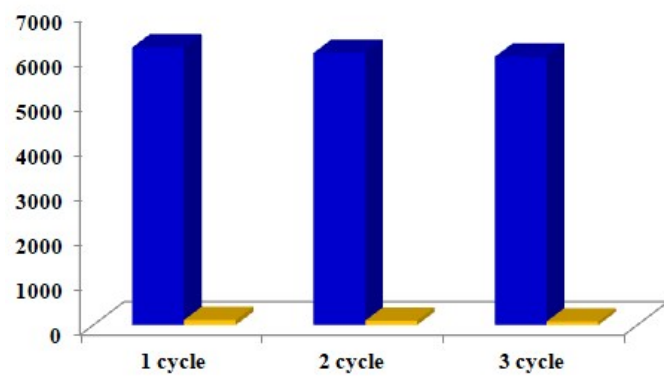
**Figure S8.** The K<sub>SV</sub> plot for the fluorescence quenching of 4-NP (a), m-NP(b), o-NP(c), 4-NA(d), m-NA(e), o-NA(f), 4-NT(g), o-NT(h) and NB(i) to aqueous@1 suspensions at low concentration.



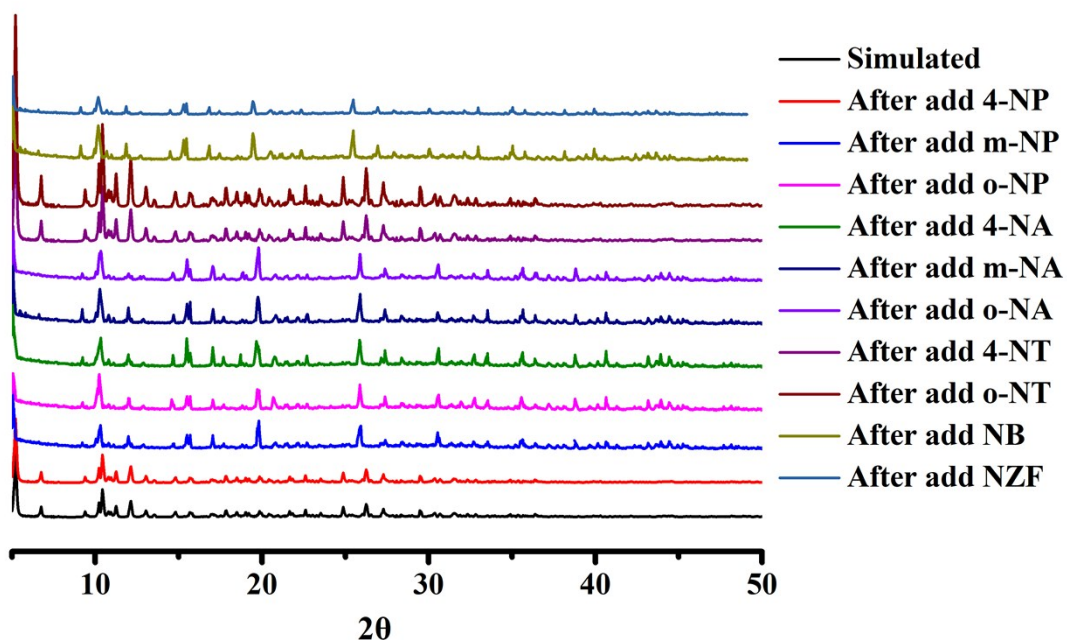
**Figure S9.** Comparison of the luminescence intensity of **1** in DMF suspension with the introduction of other antibiotic.



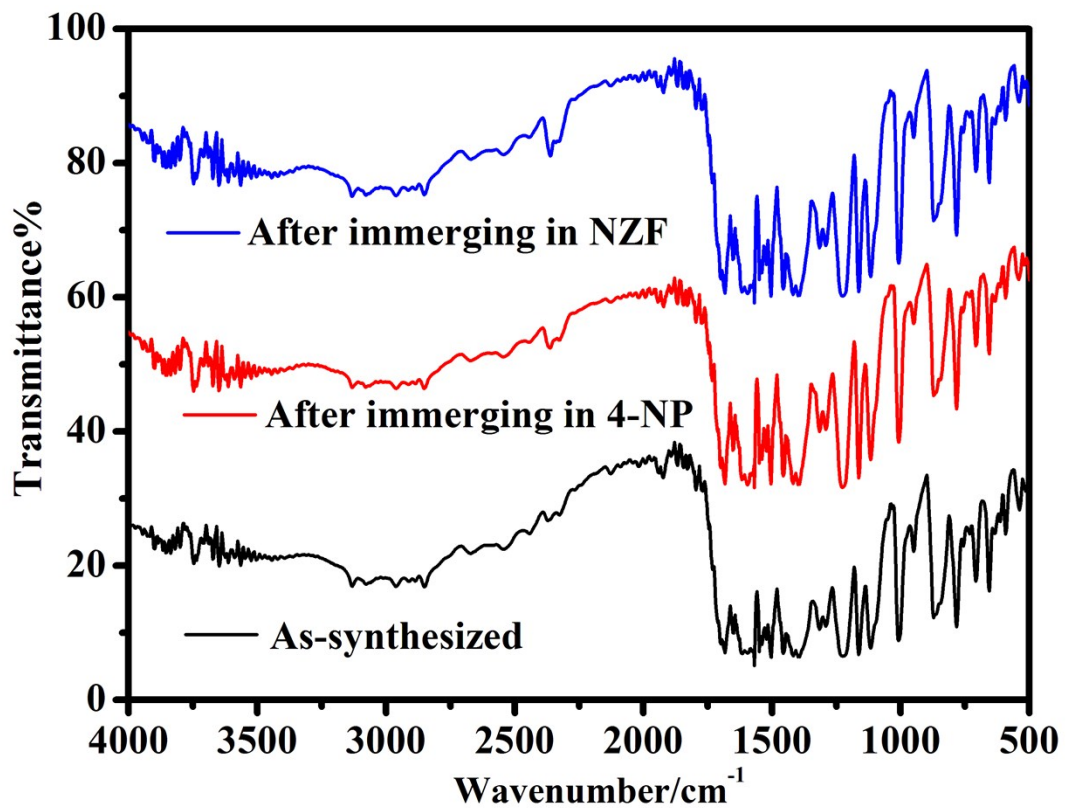
**Figure S10.** the selective detection of 4-NP/NZF (f) on LCP 1 in the presence of various analyte in water system.



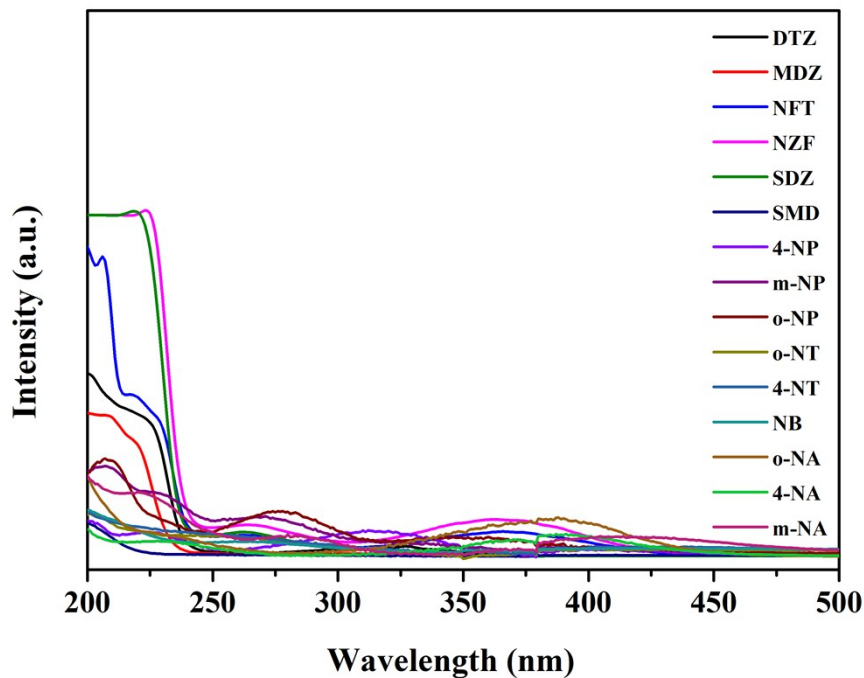
**Figure S11.** The results of **1** for three continuous cycles.



**Figure S12.** The PXRD patterns of **1** for the simulated, as-synthesized and after immersing in NACs and antibiotic.



**Figure S13.** The IR patterns of **1** for the, as-synthesized and after immersing in 4-NP and NZF .



**Figure S14.** The UV spectra of NACs and antibiotic.

**Table S3.** Summary of LCPs for detecting 4-NP and NZF.

Molecular Formula	analyte	Quenching Constant (Ksv/M <sup>-1</sup> )	detection limit (DL)	Ref.
{[Cd <sub>2</sub> (obtz)(Meip) <sub>2</sub> ] <sup>+</sup> ·H <sub>2</sub> O} <sub>n</sub>	4-NP	0.113×10 <sup>3</sup>	NA	24
{[Cd(obtz)(ndc)] <sup>+</sup> ·0.5H <sub>2</sub> O} <sub>n</sub>	4-NP	0.117×10 <sup>3</sup>	NA	24
{[Eu <sub>2</sub> (TDC) <sub>3</sub> (CH <sub>3</sub> OH) <sub>2</sub> ] <sup>+</sup> ·CH <sub>3</sub> OH} <sub>n</sub>	NZF	1.6×10 <sup>4</sup>	NA	25